

Neue Taxa der Satyrinen-Gattung *Hyponephele* MUSCHAMP 1915 (Lepidoptera: Nymphalidae, Satyrinae) aus Mittelasien und Transkaukasien

Genrich D. SAMODUROV, Vladimir A. KOROLEV und
Vadim V. TSHIKOLOVEZ

Genrich D. SAMODUROV, Kalinin-Straße 2-21, RUS-141070 Moskauer Gebiet, Kaliningrad, Rußland

Dr. Vladimir A. KOROLEV, Bäkulew-Straße 10-36, RUS-117513 Moskau, Rußland,

E-Mail: korolev@skyscan.geol.msu.su

Vadim V. TSHIKOLOVEZ, Zodtschich-Straße 28-126, UKR-252194 Kiew, Ukraine

Zusammenfassung: In dieser Arbeit werden folgende neue Satyrinen-Taxa der Gattung *Hyponephele* MUSCHAMP beschrieben: *Hyponephele issykkuli* SAMODUROV spec. nov. (Kirgisien, Terskej-Alatau, südliches Ufer des Issykkul-Sees, Akoleng); *Hyponephele fortambeka* SAMODUROV spec. nov. (Tadschikistan, Peter-I.-Gebirge, Fortambekgletscher); *Hyponephele hilaris tsvetajevi* SAMODUROV subsp. nov. (Usbekistan, Turkestan-Gebirge, Woruch); *Hyponephele dzhungarica* SAMODUROV spec. nov. (Kasachstan, Taldy-Kurganer Gebiet, Dsungarischer Alatau, Kapal); *Hyponephele lycaon zuvandica* SAMODUROV & KOROLJEV subsp. nov. (Aserbaidtschan, Talsch, Zuvand, Gosmoljan); *Hyponephele sheljuzhkoii* SAMODUROV & TSHIKOLOVEZ spec. nov. (Kirgisien, Naryn); *Hyponephele laeta ochracea* SAMODUROV subsp. nov. (Usbekistan, Kuraminski-Gebirge, Kamtschik-Paß); *Hyponephele laeta turkestanica* SAMODUROV subsp. nov. (Tadschikistan, Turkestan-Gebirge, Kumbel-Paß); *Hyponephele kirghisa obscurata* SAMODUROV subsp. nov. (Kirgisien, Kirgisisches Gebirge, loc. Aral bei Talas); *Hyponephele tristis tshikolovetsi* SAMODUROV subsp. nov. (Usbekistan, westliches Turkestan-Gebirge, Schum-Schum); *Hyponephele glasunovi magna* SAMODUROV subsp. nov. (Kasachstan, Kirgisisches Gebirge, Karakystak-Schlucht bei Merke).

New Taxa of the satyrid genus *Hyponephele* MUSCHAMP, 1915 (Lepidoptera: Nymphalidae, Satyrinae) from Central Asia and Transcaucasia

Summary: The following new taxa of the satyrid genus *Hyponephele* MUSCHAMP are described: *Hyponephele issykkuli* SAMODUROV spec. nov. (Kirghizia, Terskei-Alatau, southern shore of Lake Issykkul, Akoleng); *Hyponephele fortambeka* SAMODUROV spec. nov. (Tadjikistan, Peter I. Range, glacier Fortambek); *Hyponephele hilaris tsvetajevi* SAMODUROV subsp. nov. (Uzbekistan, Turkestan Range, Vorukh); *Hyponephele dzhungarica* SAMODUROV spec. nov. (Kazakhstan, Taldy-Kurgan Region, Dzhungarski Alatau, Kapal); *Hyponephele lycaon zuvandica* SAMODUROV & KOROLJEV, subsp. nov. (Azerbaijan, Talysh, Zuvand, Gosmoljan); *Hyponephele sheljuzhkoii* SAMODUROV & TSHIKOLOVEZ

spec. nov. (Kirghizia, Naryn); *Hyponephele laeta ochracea* SAMODUROV subsp. nov. (Uzbekistan, Kuraminski Range, pass Kamtchik); *Hyponephele laeta turkestana* SAMODUROV, subsp. nov. (Tadjikistan, Turkestan Range, pass Kumbel); *Hyponephele kirghisa obscurata* SAMODUROV subsp. nov. (Kirghizia, Kirghizski Range, Aral, near Talas Valley); *Hyponephele tristis tshikolovetsi* SAMODUROV, subsp. nov. (Uzbekistan, western Turkestan Range, Zhum-Zhum); *Hyponephele glasunovi magna* SAMODUROV subsp. nov. (Kazakhstan, Kirghizski Range, canyon Karakystak near Merke).

Новые таксоны сатирид рода *Hyponephele* MUSCHAMP 1915 (Lepidoptera: Nymphalidae, Satyrinae) из Средней Азии и Закавказья

Резюме. В статье приводится описание новых таксонов чешуекрылых рода *Hyponephele* MUSCHAMP из различных районов Средней Азии и Закавказья: *Hyponephele issykkuli* SAMODUROV spec. nov. (Киргизия, Терской Алатау, южный берег оз. Иссык-Куль, п. Аколентг); *Hyponephele fortambeka* SAMODUROV, spec. nov. (Таджикистан, хр. Петра I, ледник Фортамбек); *Hyponephele hilaris tsvetajevi* SAMODUROV subsp. nov. (Узбекистан, Туркестанский хр., к. Ворух); *Hyponephele dzhungarica* SAMODUROV spec. nov. (Казахстан, Талды-Курганская обл., Джунгарский Алатау, Капал); *Hyponephele lycan zuvandica* SAMODUROV & KOROLJEV subsp. nov. (Азербайджан, Талыш, Зуванд, Госмолян); *Hyponephele sheljuzhkoii* SAMODUROV & TSHIKOLOVEZ spec. nov. (Киргизия, Нарын); *Hyponephele laeta ochracea* SAMODUROV subsp. nov. (Узбекистан, Кураминский хр., перевал Камчик); *Hyponephele laeta turkestana* SAMODUROV subsp. nov. (Таджикистан, Туркестанский хр., перевал Кумбель); *Hyponephele kirghisa obscurata* SAMODUROV subsp. nov. (Киргизия, Киргизский хр., аил Арал в верховьях Таласской долины); *Hyponephele tristis tshikolovetsi* SAMODUROV subsp. nov. (Узбекистан, Туркестанский хр. (запад), Жум-Жум); *Hyponephele glasunovi magna* SAMODUROV subsp. nov. (Казахстан, Киргизский хр., ущ. Каракыстак в окр. Мерке).

Einleitung

Bei der Bearbeitung des Materials der Sammlungen des Zoologischen Museums der Universität Moskau (ZMUM), des Zoologischen Museums der Universität Kiew (ZMUK) und des Darwin-Museums in Moskau (DMM) sowie der Privatsammlungen von A. V. DANTCHENKO, V. TUZOV, V. MURZIN, M. MARCHASJEV, P. BEDA, L. КААВАК und V. KIPNIS (alle Moskau), V. A. LUKHTANOV (St. Petersburg, Typen in der Sammlung des Zoologischen Instituts der Universität von St. Petersburg, ZISP), V. TSHIKOLOVEZ (Kiew) und W. ECKWEILER (Frankfurt) wurden neue Taxa der Satyrinengattung *Hyponephele* MUSCHAMP entdeckt, die hier beschrieben werden sollen.

***Hyponephle issykkuli* SAMODUROV spec. nov. (Abb. 1)**

Holotypus: ♂, [Kirgisien, Terskej-Alatau], südl. Ufer des Issykkul-Sees, loc. Akoleng [12 km SO loc. Rybatschje (jetzt Issykkul)], 10. 8. [19]55, leg. A. TSVETAJEV in ZMUM (Moskau).

Paratypen: 1 ♂, 4 ♀♀, wie Holotyp, leg. TSVETAJEV; 2 ♀♀, gleicher Ort, 6. VIII. [19]55, leg. A. TSVETAJEV; 1 ♂, südl. Ufer des Issykkul-Sees, Kadschi-Saj, Tossor, 2. VIII. [19]66, leg. P. VTOROV. Paratypen in ZMUM.

Beschreibung

♂. Vorderflügelänge 21,5–22,5 mm (Holotypus 22 mm). Sehr ähnlich den anderen Arten der *H. davendra*-Gruppe, insbesondere *H. comara* LEDERER 1871. Grundfarbe oberseits ockergelb, aber bräunlicher („schmutziger“) getönt als bei den anderen Arten der Gruppe. Auffällig ist eine die Mittelzelle einschließende deutliche Verdunkelung der Basalregion der Vorderflügel, wie sie bei anderen Arten der Gruppe niemals vorkommt. Die Adern sind auch dunkelbräunlich bestäubt. Am Costalrand hinter dem Apikalauge verläuft der deutliche, zur Flügelmitte erloschene bräunliche Streifen (bei anderen Arten der Gruppe fehlt dieser). Der Androkonienfleck ist kurz und erreicht der Zelle M_3 - Cu_1 nicht. Hinterflügel einfarbig graubraun mit einer kaum sichtbaren, von unten durchschimmernden bleichen Mittelbinde. Den Außenrand entlang säumen undeutliche dreieckige Flecken, dunkler als die Grundfarbe. Außenrand merklich weniger gezackt als bei *H. latistigma* MOORE 1892 und *H. brevistigma* MOORE 1892 (wie bei *H. comara*).

Die Unterseite der Flügel unterscheidet sich fast nicht von *H. latistigma*, nur die bogenförmige dunkelbraune Mediane auf den Hinterflügeln ist mehr abgerundet (bei *H. brevistigma* ist sie eckiger). Der Vorsprung in der Mitte dieser Linie (im Scheitelpunkt ihrer Krümmung) ist mehr oder weniger deutlich ausgeprägt. Beide Tornalagen sind immer vorhanden, das Apikalauge kann fehlen (wie beim Holotypus).

♂ Genitalien (Abb. 13). Unterscheiden sich nicht von denen der anderen Arten der Gruppe.

Androkonien siehe Abb. 24.

♀. Vorderflügelänge 23–25 mm. Praktisch unterscheiden sich die ♀♀ nicht von den anderen Arten dieser Gruppe. Die dunklere Basalhälfte der Vorderflügel durch einen vom Costal- bis zum Hinterrand der Flügel reichenden, unebenen, geeckten bräunlichen Streifen von der ockergelben

Außenhälfte (heller und leuchtender als beim ♂) abgetrennt. Augenflecke blind, zweites Auge in Zelle Cu₁-Cu₂ deutlich kleiner oder häufig ganz fehlend. Die helle Mittelbinde auf den Hinterflügeln gut ausgeprägt und hebt sich auch von dem bleichlichen Randstreifen beim Tornus des Flügels ab. Hinterflügel-Unterseite wie beim ♂.

Von den ähnlichen Arten *H. latistigma*, *H. brevistigma* und *H. comara* unterscheidet sich die neue Art durch ihre bräunlichere Tönung der ocker-gelben Grundfarbe beim ♂ und besonders durch die Verdunkelung der Adern und des Basalteiles der Vorderflügel und auch durch die geringere Wellung (Zackung) der Hinterflügelaußenränder in beiden Geschlechtern.

Verbreitung. Kirgisien, südliches Ufer des Issykkul-Sees, Gebirgskette Terskej-Alatau. Die Art ist bisher nur von der Typenlokalität bekannt und bewohnt dort fast vegetationslose, trockene, stark erodierte schotterbedeckte Biotope. Flugzeit im Juli/August.

Hyponephele fortambeka SAMODUROV spec. nov. (Abb. 2)

Holotypus: ♂, [Tadschikistan], Zentr.-Pamir, [Peter-I.-Gebirgskette], Fortambek-Gletscher, 4000 m, 14. 7. [19]88, leg. V. MURZIN, in ZMUM (Moskau).

Paratypen: 24 ♂♂, 7 ♀♀, gleiche Ortsangabe, 4000-4100 m, 14.-15. VII. [19]88, leg. V. MURZIN. Paratypen in coll. V. S. MURZIN und G. D. SAMODUROV.

Beschreibung

♂. Vorderflügelänge 15-16,5 mm (Holotypus 16 mm). Ähnlich (und nah verwandt mit) *H. hilaris* STAUDINGER 1886. Oberseite der Vorderflügel rostfarben-ocker mit einer auffälligen hell silbergrauen, seidenartigen Basalregion. Außen- und Costalrand der Vorderflügel braun. Apikalauge ziemlich breit und blaßgelb umgerandet. Fühlerkeule unten rostfarben (bei *H. hilaris* braun). Oberseite der Hinterflügel einfarbig graubraun. Flügelunterseite sehr kennzeichnend: Grundfarbe der Hinterflügel braungrau bis fast aschgrau (besonders bei frischen Exemplaren), fein bräunlich marmoriert und mit der ausgeprägten Binde. Vorderflügel rostfarben-ocker mit der durch alle Flügel verlaufenden deutlichen gebrochenen dunkelbraunen Postdiskallinie. Bei einigen ♂♂ tritt ein dunkles Auge im Apex der Hinterflügel auf. Fransen hellbraun, an den Aderenden undeutlich gescheckt.

♂ **Genitalien** (Abb. 14). Auch ähnlich *H. hilaris*, nur das Tegumen etwas massiger.

Androkonien siehe Abb. 24.

♀. Vorderflügelänge 17,5–19 mm. Wie ♂, nur Flügel verlängerter und Fransen heller, kontrastreicher.

Die neue Art fliegt in direkter räumlicher Nähe zu *H. hilaris*. Von dieser unterscheidet sich *fortambeka spec. nov.* durch die charakteristische Farbe der Basalregion der Vorderflügeloberseite und besonders durch die Grundfarbe der Hinterflügelunterseite, die bei *H. hilaris* niemals aschgrau ist. Beide Geschlechter haben helle scheckigen Fransen, die sich deutlich von der Grundfarbe abheben (bei *H. hilaris* sind die Fransen dagegen einfarbig und fast von der gleichen Färbung wie die Grundfarbe) sowie rostfarbene Fühlerkeulen (bei *H. hilaris* sind diese dunkelbraun). Außerdem fehlen beim ♂ von *H. hilaris* die Androkonien schuppen auf den Vorderflügeln, die beim ♂ von *H. fortambeka* vorhanden sind.

Verbreitung. Die nördliche Abhänge der Peter-I.-Gebirgskette. Die Art ist nur von der Typenlokalität bekannt.

Hyponephele hilaris tsvetajevi SAMODUROV subsp. nov. (Abb. 3)

Holotypus: ♂, Usbekistan, Turkestanski-Gebirgskette, loc. Woruch, Alamajdan, 14. 7. 1915, leg. V. MEDINSKI in ZMUM (Moskau).

Paratypen: 2 ♂♂, wie Holotypus, 21. vi., 4. vii. 1915, leg. V. MEDINSKI; 2 ♂♂, Turkestanski-Gebirgskette, Kumbel-Paß, 3000–3200 m, 5. vii. [19]76, 1 ♂, dito, 7. vii. [19]76, 2 ♂♂, 2 ♀♀, dito, 26. vii. [19]76, 1 ♂, dito, 3400–3800 m, 29. vii. [19]76, 1 ♂, 2 ♀♀, dito, 30. vii. [19]76, alle leg. A. TSVETAJEV; 2 ♂♂, dito, 2800 m, 6. vii. 1976, 5 ♂♂, 2 ♀♀, dito, 2800–3200 m, 27.–29. vii. 1976, alle leg. V. KIPNIS; 3 ♂♂, dito, 5.–8. vii. 1973, leg. V. MURZIN; 3 ♂♂, dito, 3000–3200 m, 12. vii. 1974, leg. O. GRATSHEV; 1 ♂, dito, 2400 m, 7.–10. vii. 1989, leg. LAUDA; 1 ♂, dito, 3000 m, 18. vii. 1987, leg. WEIDENHOFFER; 1 ♂, dito, 3000–3200 m, 15.–21. vii. 1987, leg. K. ŠPATENKA; 3 ♂♂, [Turkestanski-Geb.], Schachristan-Paß, 3. vii. 1980, leg. L. KAABAK; 6 ♂♂, 1 ♀, dito, 3000 m, 10. vii. 1986, leg. K. H. SALPETER; 1 ♂, dito, 2500–3000 m, 1.–15. vii. 1986, leg. LAUDA. Paratypen in ZMUM, coll. W. ECKWEILER, L. KAABAK, V. I. KIPNIS, V. S. MURZIN und G. D. SAMODUROV

Beschreibung

♂. Vorderflügelänge 16–17 mm (Holotypus 16 mm). Die dunkelste der bekannten Unterarten von *H. hilaris*. So groß wie *H. hilaris hilaris* und die in der Nähe (Gissar, Serawschan) fliegenden ssp. *bori* HERZ 1900.

Oberseits die Flügel stark verdunkelt, Vorderflügel fast ohne Ockerfärbung, die nur in Form der ausgewaschenen blaßgelblichen Umrandung des Apikalauges erhalten bleibt. Unterhalb des Apikalauges sind kaum bemerkbare Spuren einer ockerbraunen Querbinde vorhanden. Bei den ♂♂ variiert die Ausprägung der Ockerfärbung auf den Vorderflügeln. Apikalaugelinde blind. Hinterflügel eintönig. Unterseite der Flügel auch stark verdunkelt, insbesondere die der Vorderflügel. Färbung der Diskalregion unterscheidet sich kaum von der graubräunlichen Grundfarbe. Die hellgelbe Färbung tritt nur um das weißgekernte Apikalaugel auf. Hinterflügel mit unklarem monotonem Muster, nur etwas dunkler als Grundfarbe: bogenförmige Medianbinde sowie Streifen entlang dem Außenrand der Hinterflügel.

♂ Genitalien (Abb. 15). Wie bei der nominotypischen Unterart.

♀. Vorderflügelänge 18–19,5 mm. Flügel auch verdunkelt, jedoch die ockergelbe Färbung stärker als beim ♂ ausgeprägt und ein ockergelbes Feld in der Außenhälfte der Flügel bildend. Der dunkle Basalteil der Flügel ist vom Außenteil durch eine distinkte dunkelbraune Postdiskallinie abgetrennt. Dem Muster nach ähnelt das ♀ eher der nominotypischen Form und insbesondere dem ♀ der *ssp. bori* als dem ♂.

Verbreitung. Usbekistan, Kirgisien, Tadschikistan: Turkestanski-Gebirgskette.

Hyponphele dzhungarica SAMODUROV spec. nov. (Abb. 10)

Holotypus: ♂, SO-Kasachstan, Taldy-Kurganer Gebiet, Dsungarski-Alatau, loc. Kapal, 1300 m, 7. 7. 1990, leg. G. D. SAMODUROV in ZMUM (Moskau).

Paratypen: 29 ♂♂, 19 ♀♀, gleicher Ort, 1300–1450 m, 4.–16. VII. 1990, leg. G. D. SAMODUROV; 2 ♂♂, 15 ♀♀, Taldy-Kurganer Gebiet, Dsungarischer Alatau, loc. Rudnitschnyi, 1350 m, 19.–22. VII. 1990, leg. G. D. SAMODUROV; 28 ♂♂, 2 ♀♀, SO-Kasachstan, Tyschkantau-Gebirgskette, Tal des Usek-Flusses, loc. Enbektschi, 1100 m, 25.–30. VI. 1992, leg. V. Tuzov; 8 ♂♂, 4 ♀♀, SO-Kasachstan, O-Dsungarien, Kajtas-Gebirgskette, 1400 m, 1. VII. 1992, leg. V. Tuzov; 5 ♂♂, 3 ♀♀, gleicher Ort, 1400 m, 9.–10. VII. 1992, leg. V. Tuzov; 6 ♂♂, 3 ♀♀, O-Tienschan, Borochoro-Gebirgskette, loc. Tyschkan, Sarybel, 1600 m, 16. VII. 1990, leg. I. PLJUSHTCH; 2 ♂♂, gleicher Ort, 2000 m, 13. VII. 1990, leg. I. PLJUSHTCH; 1 ♂, Dsungarien, Taldy-Kurganer Gebiet, Tal des Karaoj-Flusses, Tekeli, 2. VIII. 1985, leg. A. ZHDANKO; 4 ♀♀, Dsungarischer Alatau, nahe bei Tekeli, 16. VII. 1970, leg. A. KUZJAKIN; 4 ♂♂, 6 ♀♀, gleicher Ort, 20.–28. VII. 1970, leg. A. KUZJAKIN. Paratypen in ZMUM, DMM, coll. G. D. SAMODUROV, V. K. TUZOV und W. A. KOROLEV.

Beschreibung

♂. Vorderflügelänge 20-22 mm (Holotypus 21 mm). Sehr ähnlich *H. lycaon* ROTTEMBURG 1775. Grundfarbe oberseits dunkelbraun. Das schwarzbraune Apikalauge ist größer als bei benachbart fliegenden *H. lycaon catamelas* STAUDINGER 1886 hebt sich merklich von der Grundfarbe ab und ist in der Regel verschwommen ocker umgerandet. In der Serie begegnen oft ♂♂ mit einem ebenfalls ocker umgerandeten zusätzlichen Auge in Zelle Cu_1-Cu_2 . Nicht selten ist auch ein ockerfarbener verwaschener Fleck unter dem Apikalauge sichtbar. In seltenen Fällen kommen ♂♂ ohne jegliche Spuren der Ockerfarbe auf den Vorderflügeln vor. Androkonienfleck wie bei *H. lycaon*, schmal und keilförmig, von den Adern Cu_1-Cu_2 zerschnitten. Hinterflügel einfarbig, dunkelbraun, Rand schwach gewellt.

Unterseite der Flügel braungrau, heller als bei *H. lycaon catamelas*, mit mehr oder weniger ausgeprägter Binde auf den Hinterflügeln. In der Serie etwa bei einem Viertel der Exemplare tritt am Tornus das kleine schwarze Auge in der kaum bemerkbaren gelblichen Umrandung auf. Fransen dunkelbraun.

♂ Genitalien (Abb. 16). Unterscheiden sich von *H. lycaon* nicht, nur die Äste der Gnathos (= Subunci) sind reduziert, kurz.

Androkonien siehe Abb. 24.

♀. Vorderflügelänge 20-23,5 mm. Oberseite der Flügel dunkelbraun, mit gut ausgebildeter ockerfarbener Umrandung der Augen, die eine breite und gut ausgeprägte deutliche Binde bildet und sich häufig auf den Hinterflügeln fortsetzt. Augen nicht selten weiß gekernt. Zwischen der dunkleren Basalhälfte der Flügel und der helleren Außenhälfte verläuft durch die Vorderflügel eine dunkle eckige Postdiskallinie. Den Mittelteil der Diskalregion der Vorderflügel nimmt das mehr oder weniger ausgebildete ockerfarbene Feld ein, das in den meisten Fällen auch den Vorderteil der Mittelzelle ausfüllt. Hinterflügel dunkelbraun, immer mit einer hellen, nicht selten ockerfarbenen Binde vor der Mittelzelle. Unterseite der Flügel wie beim ♂, nur die Grundfarbe der Hinterflügel etwas heller.

Verbreitung. S-Kasachstan: Dsungarischer Alatau und ihm anschließende Gebirgsketten: Katutau, Altynemel, Kojandytau u. a., Ketmen-Gebirge.

Im Gegensatz zu der ähnlichen, jedoch verschiedene Grasassoziationen bewohnenden *H. lycaon* zieht die neue Art Steppenbiotope mit Felsen- und Steinblößen vor, insbesondere an den Ufern von Bächen und Flüssen. Flugzeit von Ende Juni bis August in Höhen von 1000-1700 m.

Ahnliche Arten:

H. lycaon catamelas: Vorderflügel beim ♂ oberseits einfarbig schwarzbraun ohne Spuren der Ockerfarbe, Apikalaugelänge in der Regel kleiner. Bei den ♀♀ tritt die Ockerfarbe nur in Form von einer schmalen Umrandung der Vorderflügeladern auf. Grundfarbe der Hinterflügelunterseite beider Geschlechter dunkler und eintöniger.

H. przhewalskyi DUBATALOV, SERGEEV & ZDANKO 1994 ist größer, die Flügel sind breiter, Apex der Vorderflügel abgerundet; Hinterflügelrand weniger gewellt mit monotoner Unterseite ohne jegliches Muster; bei den ♀♀ zeigt sich die Ockerfarbe nur in Form einer Umrandung der Adern auf den Vorderflügeln.

Hyponephele lycaon zuvandica SAMODUROV & KOROLJEV subsp. nov. (Abb. 5)

Holotypus: ♂, Aserbajdschan, Talysch, Zuvand, loc. Gosmoljan, 1400 m, 22. 6. 1989, leg. M. MARCHASJEV in ZMUM (Moskau).

Paratypen: 2 ♂♂, 1 ♀, gleicher Ort, 1400–1600 m, 22.–23. VI. 1989, leg. M. MARCHASJEV; 5 ♂♂, 2 ♀♀, Aserbajdschan, Talysh, Zuvand, loc. Gjujdara, 1400–1500 m, 22. VI. 1989, leg. M. MARCHASJEV; 3 ♂♂, Aserbajdschan, Talysh, Zuvand, loc. Gilidara, 1700 m, 18. VI. 1989, leg. M. MARCHASJEV; 1 ♂, loc. bei Elisabetpol, Zangezur-Gebirgskette, 9000 ft., 11. VII. 1910, leg. E. MILLER; 1 ♂, Zangezur-Gebirgskette, 8000 ft., Milk-Gegend, 14. VII. 1910, leg. E. MILLER; 2 ♂♂, Nachitschevan. ASSR, Ordubad, 12. VII. 1968, leg. A. KUZJAKIN; 1 ♂, 1 ♀, Nachitschevan, Pasmara, Ordubader Rayon, 1700 m, 8. VIII. 1979, leg. A. TSVETAJEV; 1 ♂, Nachitschevan, loc. Kjukju, Daralages-Gebirgskette, 2000 m, 11. VII. 1970, A. TSVETAJEV; 1 ♀, Nachitschevan, loc. Bitschenek, Zangezur-Gebirgskette, 2000 m, 18. VII. 1970, leg. A. TSVETAJEV; 2 ♂♂, 3 ♀♀, Daralagesski-Gebirgskette, südöstl. Abhang nördlich Bitschenek, 23.–24. VII. 1970, leg. O. GRATSHEV; 13 ♂♂, 2 ♀♀, Nachitschewan, Zangesurski-Gebirgskette, loc. Njusnjus, 2000–2200 m, 20.–21. VII. 1988, leg. P. BEDA; 10 ♂♂, 2 ♀♀, dito, 2000–2100 m, 27. VII. 1986, leg. V. TUZOV; 14 ♂♂, Talysh, Zuvand, Ljaljakeran, 1400 m, 15.–20. VI. 1995, leg. A. DANTCHENKO. Paratypen in ZMUM, coll. M. MARCHASJEV, V. K. TUZOV, P. I. BEDA, A. V. DANTCHENKO und G. D. SAMODUROV

Beschreibung

♂. Vorderflügelänge 19–21 mm (Holotypus 20 mm). So groß wie die nordiranische Unterart *H. lycaon kambyes* GROSS & EBERT 1975, d. h. kleiner als *H. lycaon lycaon* und die im Großen Kaukasus fliegende ssp. *alpherakyi* SHELJUZHKO 1937. Grundfarbe der Flügeloberseite dunkelbraun, von einer kälteren (mehr grauen) Tönung als bei den obengenannten

Unterarten. Apikalauge der Vorderflügel klein und unauffällig. Androkonienfleck von dem für die Art gewöhnlichen Aufbau. Eigenartigerweise ist der Außenrand der Hinterflügel nicht selten mehr oder weniger aufgehellt, was infolgedessen bei vielen Exemplaren (ungewöhnlich für diese Art) wie eine hellgraue Umrandung des Flügels erscheint. Die Unterseite unterscheidet sich auch vor den obengenannten Unterarten. Die Ockerfarbe auf den Vorderflügeln bleicher, Grundfarbe der Hinterflügel heller, mit einer mehr grauen Tönung und dem reichen feingesprenkeltem Muster. Medianbinde schwach ausgeprägt.

♂-Genitalien (Abb. 17). Wie bei typischen *lycaon*.

Androkonien siehe Abb. 24.

♀. Vorderflügelänge 20–21,5 mm. Oberseits Zeichnung der Flügel wie bei den anderen Unterarten, jedoch ist der Außenrand der Hinterflügel auch mehr oder weniger aufgehellt und die helle Binde (unter der Mittelzelle) besser ausgeprägt. Unterseite wie beim ♂, aber deutlich heller.

Verbreitung. Transkaukasus: Armenien, Aserbajdschan.

Zum Unterschied zur Nominatform und den anderen Unterarten von *H. lycaon*, die verschiedene grasige Wiesen- und Steppenassoziationen bewohnen, zieht die neue Unterart nur trockene, xerophytische und geröllige Biotope vor. Die Bindung an Biotope, die von den von der nominotypischen *H. l. lycaon* genutzten so deutlich unterschieden sind, sowie die habituellen Merkmale geben allen Grund zur Annahme, daß dieses Taxon eine eigenständige Art darstellt. Es wäre wünschenswert, dies anhand von weiteren Untersuchungen später zu bestätigen.

***Hyponephele sheljuzhko* SAMODUROV & TSHIKOLOVEZ spec. nov.**
(Abb. 6)

Holotypus: ♂, [Kirgisien, Innerer Tianschan], Naryn, 27. 6. 1914, coll. L. SHELJUZHKO (ZMUK).

Paratypen: 6 ♂♂, 5 ♀♀, wie Holotyp, coll. L. SHELJUZHKO [ZMUK]; 3 ♂♂, 1 ♀, Naryntoo, Alysch, 22. VII. 1986, leg. A. BLINUSHOV; 6 ♂♂, 7 ♀♀, [Bajdulu-Gebirgskette], 22–24 km südl. Dolon-Paß, 25. VII.–1. VIII. 1990, leg. V. TSHIKOLOVEZ; 21 ♂♂, 7 ♀♀, Inn. Tianschan, Bajdulu-Gebirgskette, 22 km südl. Dolon-Paß, 2450–2600 m, 6. VII.–19. VII. 1976, leg. et coll. G. SAMODUROV; 2 ♂♂, 2 ♀♀, Inn. Tianschan, Bajbitschetau-Gebirgskette, Koschoj-Too, 2700 m, 24. VII. 1990, leg. V. KOROLEV. Paratypen in coll. ZMUK, G. D. SAMODUROV, V. TUZOV, W. A. KOROLEV und V. V. TSHIKOLOVEZ.

Beschreibung

♂. Vorderflügelänge 18–19,5 mm (Holotypus 18,5 mm). So groß wie *H. kirghisa* ALPHÉRAKY 1881 oder etwas kleiner. Vorderflügeloberseite sehr ähnlich *H. kirghisa kirghisa*. Grundfarbe der Vorderflügel ockergelb mit breitem dunkelbraunem Saum an den Rändern. Die ockergelbe Färbung fast bis zur Basis ausgedehnt und nimmt die Mittelzelle ein. Apikalauge dunkelbraun, ziemlich groß. Das Auge in Zelle Cu_1-Cu_2 fehlt in der Regel. Androkonienfeld wie bei *H. laeta* STAUDINGER 1886: in Zelle Cu_1-Cu_2 zweigeteilt, bestehend aus dem ziemlich dünnen geraden Strich entlang der Cubitalader mit scharfen Zacken an den Adern und dem einzelnen dünnen Strich an der Analader. Hinterflügeloberseite dunkelbraun. In der Serie sind ♂♂ mit einem ausgeprägten ockerfarbenen Feld im Diskalbereich nicht selten. Die Grenzen dieses Feldes sind sehr verwaschen. Vorderflügelunterseite mit gut ausgebildeter blaßgelber Färbung im Diskalbereich und einem verschwommenen hellen bräunlichgrauen Saum an den Rändern. Hinterflügel hell, bräunlichgrau mit unklarer Marmorierung und sehr schwach ausgeprägten Querbinden. Analagen (1–2) punktförmig.

♂ Genitalien (Abb. 18). Wie bei *H. kirghisa*.

Androkonien siehe Abb. 24.

♀. Vorderflügelänge 19–21 mm. Oberseite auch sehr ähnlich *H.-kirghisa*-♀, nur das Auge in Zelle Cu_1-Cu_2 merklich kleiner als Apikalauge. Das ockerfarbene Feld auf den Hinterflügel meistens besser als beim ♂ ausgeprägt. Flügelunterseite wie beim ♂, jedoch die Grundfarbe der Hinterflügel heller und Analagen in den vielen Fällen kaum erkennbar. Fransen beider Geschlechter hell, bräunlichgrau.

Das neubeschriebene Taxon vereint die Merkmale zweier nahestehenden Arten: *H. kirghisa* (Habitus, Ausmaße, Muster, Genitalien) und *H. laeta* (Form des Androkonienflecks). Androkonien bei der neuen Spezies analog den beiden obengenannten Arten.

Verbreitung. Zentrales Kirgisien, Innerer Tienschan: die dem Ort Naryn benachbarten Gebirgsketten (Naryntau, Bajdulu, Atbaschi, Nuratau, Bajbitschetau u. a.).

Die Art bewohnt Gebirgssteppen, lehmig-geröllige Steppen und Xerophytenbiotopen in Höhen von 2300 bis 2600 m. Flugzeit im Juni–August.

Ähnliche Arten:

H. kirghisa: Hinterflügel oberseits immer mit der ockergelben Färbung; die ♂♂ hauptsächlich mit dem Auge in Zelle Cu₁-Cu₂;

H. laeta: kleiner; Hinterflügel oberseits ohne der ockergelben Färbung (ausgenommen *H. laeta ochracea*), kommt nicht zusammen mit *H. sheljuzhko* vor.

H. pseudokirghisa STSHETKIN 1984: aus dem Serafshan, kommt nicht zusammen mit *H. sheljuzhko* vor.

Hyponephele laeta ochracea SAMODUROV subsp. nov. (Abb. 7)

Holotypus: ♂, Uzbekistan, Kuraminskiy Ridge, Kamshik [!] Pass, 2500–2700 m, 1. VIII. 1993, leg. W. ECKWEILER, in coll. W. ECKWEILER (Frankfurt). Der Holotypus wird zu gegebener Zeit einem Museum zur Verfügung gestellt.

Paratypen: 36 ♂♂, 6 ♀♀, wie Holotyp, leg. W. ECKWEILER; 9 ♂♂, 3 ♀♀, dito, leg. J.-C. WEISS; 4 ♂♂, UdSSR, Uzbekistan, Kuraminski Chrebet, Plateau Angren, 3500 m, 2. VII.–17. VII. 1986, leg. OHNESORGE; 4 ♂♂, 1 ♀, UdSSR, Uzbekistan, Taschkent, Chimgan, 2500–3000 m, 6.–8. VII. 1984, leg. MRAZEK; 1 ♂, UdSSR, Uzbekskaya SSR, Tashkentskaya region, Freganskiy Alatau[?!], Mt. Bolshoy Chimgan, 2200–2600 m, 19.–22. VI. [19]82; 1 ♀, UdSSR, Uzbekistan or., Tianshan-Chatkalski hr., Chimgan, p. Chirchik, 14.–18. VI. 1988, 2200 m; 9 ♂♂, 5 ♀♀, Asia centr., UdSSR, Usbekische SSR, Gora Bolschoi Tschimgan, 15. VII. 1988, 2900 m, K.-H. SALPETER, Berlin; 1 ♀, UdSSR, Usbekische SSR, Westl. Tianschan, Tschatkalski Chrebet, Bolschoq Tschimgan, 2500 m, Tashkent 70 km O., 17. VII. 1984, K.-H. SALPETER; 3 ♂♂, 8 ♀♀, Tschatkalski-Gebirgskette, Jangibasar, 19. VII. 1965, leg. A. KUZJAKIN; 1 ♂, 3 ♀♀, Tschatkalski(!)-[= Keksujski-]Gebirgskette, Aktasch, 21.–22. VII. 1965, leg. A. KUZJAKIN; 2 ♂♂, 1 ♀, Sandalasschski-Gebirgskette, 17. VII. 1965, leg. A. KUZJAKIN, 1 ♀, Sandalasschski-Gebirgskette, Tschatkalische Abhänge, 16. VII. 1965, leg. KUZJAKIN; 1 ♂ Tianschan, Mt. Bolshoj Tshimgan (prope Tshimgan), 2500 m alt., 29. VII. 1934, L. SHELJUZHKO leg. Paratypen in ZMUM, ZMUK, DMM, coll. W. ECKWEILER, J.-C. WEISS und G. D. SAMODUROV.

Beschreibung

♂. Vorderflügelänge 16–18 mm (Holotypus 17 mm). Kleiner als nominotypische Unterart. Die rostfarbene Färbung tritt nicht selten auch auf den Hinterflügeln auf, häufig in Form eines gut ausgeprägten Flecks mit verschwommenen Rändern oder mindestens in Form eines feinen Anflugs im Diskalfeld. Androkonienstrich mit merklich kürzeren Zacken an den Adern als bei *laeta*. Flügelunterseite wie bei der nominotypischen Unter-

art: Hinterflügel bräunlichgrau mit den mehr oder weniger gut ausgeprägten Querbinden.

♂ **Genitalien** (Abb. 20). Wie bei *H. laeta laeta* STAUDINGER 1886.

Androkonien siehe Abb. 24.

♀. Vorderflügelänge 17-19 mm. Auch kleiner als Nominatunterart. Die ausgesprochene ockerrostfarbene Färbung auf der Flügeloberseite ausgeht und erstreckt sich nicht selten bis zur Basis. Hinterflügel mit mehr oder weniger entwickeltem ockerrostfarbenem verwaschenen Fleck im Diskalfeld. Flügelunterseite wie beim ♂. Fransen beider Geschlechter bräunlich.

Verbreitung: Usbekistan, Kirgisien, Tadschikistan: südwestlicher Tianschan.

Hyponephele laeta turkestana SAMODUROV subsp. nov. (Abb. 8)

Holotypus: ♂, [Tadschikistan], Turkestanski-Gebirgskette Kumbel-Paß, 3000-3200 m, 28. 7. 1976, leg. A. TSVETAJEV in ZMUM (Moskau).

Paratypen: 6 ♂♂, 2 ♀♀, gleicher Ort, leg. A. TSVETAJEV; 10 ♂♂, 7 ♀♀, genauso, 2500-2900 m, 26.-30. VII. 1976, leg. V. KIPNIS; 1 ♀, Tadsch. SSR, Kumbel, 30. VII. 1980, leg. M. DANILEVSKI; 1 ♂, Turkestanski-Gebirgsk., Kumbel-Paß, 2500 m, leg. I. KILEVITSH; 1 ♂, Turkestanski-Gebirgsk., Saamin-Reservat, 20. VII. 1981, leg. V. MURZIN; 1 ♂, Turkestanski-Gebirgsk., Woruch, Karawsching, 2800 m, 23. VII. 1986, leg. V. CHOMTSHENKO. Paratypen in ZMUM, DMM, coll. G. D. SAMODUROV, V. S. MURZIN, V. K. TUZOV, V. I. KIPNIS und V. V. TSHIKOLOVEZ.

Beschreibung

Vorderflügelänge ♂♂ 16-19 mm (Holotypus 17,5 mm), ♀♀ 17-20 mm. So groß wie *H. laeta laeta*. Grundfarbe der Flügeloberseite heller als bei *laeta*, graubraun. Bei den ♂♂ beschränkt sich in der Regel die gelbe Färbung der Vorderflügel (nicht ockergelb wie bei *laeta*) auf eine verschwommene Umrandung des Apikalauges. In seltenen Fällen tritt die bleichgelbe Färbung in Form eines Anflugs oder verwaschenen Flecks unterhalb des Apikalauges auf. Bei den ♀♀ ist diese Färbung etwas besser ausgeprägt und bildet eine undeutliche Halbbinde. Beim ♂ hauptsächlich nur ein Apikalauge, beim ♀ sind zwei Augen vorhanden: Apikalauge und ein zweites in Zelle Cu₁-Cu₂. Androkonienfleck geformt wie bei *H. laeta laeta*, hebt sich nur schwach von der Grundfarbe ab. Flügelunterseite fast eintönig, ziemlich hell, bräunlichgrau mit der schwacher bleichgelblichen

Tönung im Diskalfeld der Vorderflügel. Die gebrochene Postdiskallinie trennt scharf den dunkleren Basalbereich vom helleren Außenbereich ab. An dem Außenrand entlang verläuft das dunklere braunliche Streifenchen. Apikalauge auf den Vorderflügeln größer als oberseits, weißgekernt.

Hinterflügel den ♂♂ mit mehr oder weniger entwickelten Querbinden, bei den ♀♀ sind sie kaum erkennbar. Bei den ♂♂ im Analwinkel 0–2 hellumrandete Augen untergebracht, bei den ♀♀ fehlen sie hauptsächlich. Fransen beider Geschlechter bräunlich.

Genitalien ♂ (Abb. 21). Wie bei der nominotypischen Unterart.

Androkonien siehe Abb. 24.

Verbreitung: Tadschikistan, Usbekistan: Turkestanski-Gebirgskette.

Hyponephele kirghisa obscurata SAMODUROV subsp. nov. (Abb. 9)

Holotypus. ♂, Kirgisien, Kirgisische Gebirgskette (südl. Abhang), Gegend Ails Aral, 35 km östl. Talas, 1950 m, 15. 7. 1993, leg. G. SAMODUROV in ZMUM (Moskau).

Paratypen: 22 ♂♂, 13 ♀♀, gleicher Ort, 1950–2000 m, 13.–15. VII., 23.–26. VII. 1993, leg. G. SAMODUROV. Paratypen in coll. G. D. SAMODUROV.

Beschreibung

♂. Vorderflügelänge 20–22,5 mm (Holotypus 21 mm), etwas größer als typische *kirghisa*. Die ockergelbe Färbung fast immer auf den Hinterflügeln vorhanden, meist in Form eines Flecks mit verschwommenen Rändern oder mindestens in Form eines feinen Anflugs im Diskalfeld. Der dunkle Basalsaum im Durchschnitt mehr ausgedehnt als bei typischen *kirghisa*, seine innere Grenze verwaschener, besonders auf den Hinterflügeln. Basalbereich, Mittelzelle und Costalrand der Vorderflügel kräftiger verdunkelt als bei typischen *kirghisa* und sehr kontrastiert mit dem hellen ockergelben Submarginalbereich, der nicht selten von dunkel bestäubten Adern durchschnitten ist. Androkonienfleck wie bei typischen *kirghisa*, jedoch auf der dunkleren Grundfarbe der Basalhälfte der Flügel unauffälliger. Er ist ziemlich breit mit spitzen Zacken an den Adern. Flügelunterseite wie bei typischen *kirghisa*, nur das Diskalfeld der Vorderflügel auch verdunkelt, gelblichgrau.

♂ Genitalien (Abb. 19). Wie bei typischen *kirghisa*.

Androkonien siehe Abb. 24.

♀. Die Vorderflügelänge beträgt 21–23 mm, auch größer als typischen *kirghisa*. Unterschiede noch kräftiger ausgeprägt. Die ockergelbe Färbung auf den Vorderflügeln ausgedehnter als beim ♂, jedoch bleibt der Basalbereich stark verdunkelt und ist dunkle Umrandung der Flügel merklich breiter (bei typischen *kirghisa* ist der Saum schmaler und die ganze Oberfläche der Vorderflügel bis zur Basis ockergelb).

Das ockergelbe Feld auf den Hinterflügeln schwach ausgeprägt (schwächer als beim ♂) und seine Grenzen sehr verwaschen (bei typischen *kirghisa* ist der Saum deutlich, und des ockergelbe Feld nimmt den ganzen Diskalteil des Flügels ein). Flügelunterseite wie beim ♂. Fransen beider Geschlechter bräunlichgrau, bisweilen bei den ♂♂ an den Aderenden der Vorderflügeln dunkler.

Verbreitung. Kirgisien, nördlicher Tianshan: Kirgisisches Gebirge.

Hyponephele tristis tshikolovetsi SAMODUROV subsp. nov. (Abb. 4)

Holotypus: ♂, [Usbekistan], Gissaro-Alaj, Turkestanski-Gebirgskette [der äußerste westliche Teil], Kischlak Shum-Shum, 1600 m, 22. 6. 1988, leg. V. TSHIKOLOVEZ, in ZMUK (im Schmalhausen-Institut der Zoologie, Kiew).

Paratypen: 1 ♂, 2 ♀♀, dito. Paratypen in coll. V. TSHIKOLOVEZ.

Beschreibung

♂. Vorderflügelänge Holotypus 20 mm, beim Paratypus-♂ 22 mm. Oberseite der Vorderflügel braun, Apikalauge klein und blind (beim Paratypus etwas größer), Androkonienfeld in Form vom einem schmalen diffusen Strich längs unterer der Discoidalader. Ockergelbe Binde schwächer als bei der nominotypischen Unterart ausgeprägt.

♂ **Genitalien** (Abb. 22). Wie bei der nominotypischen Unterart.

Androkonien siehe Abb. 24.

Die neue Unterart unterscheidet sich gut von typischen *H. tristis tristis* GRUM-GRSHIMAILO 1892 durch die Unterseite der Hinterflügel, die fast eintönig wirkt: Der rostbraune Medianstreifen ist bleich, und die ihn außen umrandende helle Binde hebt sich nur schwach von der Grundfarbe ab.

♀. Vorderflügelänge 21 und 23 mm. Oberseits unterscheiden sich auch die ♀♀ von der nominotypischen Unterart kaum. Vorderflügel braun mit

größerem Apikalaugel als beim ♂ und einem kleinen Auge in Zelle Cu₁-Cu₂. Die ockergelbe Binde ausgedehnter als beim ♂. Unterseite der Flügel wie beim ♂.

Fransen beider Geschlechter braun.

Verbreitung. Zentral-Usbekistan: westlicher Teil der Turkestanski-Gebirgskette.

Die neue Unterart ist bisher nur von der Typenlokalität bekannt.

Hyponephele glasunovi magna SAMODUROV subsp. nov. (Abb. 12)

Holotypus: ♂, Kasachstan, Dschambuler Gebiet, Kirgisische Gebirgskette, Schlucht des Karakystak-Flusses, 30 km südl. loc. Merke, 10. 8. 1989, leg. V. A. LUKHTANOV in ZISP (St. Petersburg).

Paratypen: 46 ♂♂, 17 ♀♀, wie Holotyp, leg. V. A. LUKHTANOV; 8 ♂♂, Kirgisien, Kirgisische Gebirgskette, Ail Aral (35 km ostl. loc. Talas), 1900 m, 23.-26. VII. 1993, leg. G. SAMODUROV; 1 ♂, Vissokoje, prov. Syr Darja, 4. VII. 1914, [leg.] DUBLIZKYJ, (ZMKU). Paratypen im ZIN, ZMKU, coll. V. A. LUKHTANOV und G. D. SAMODUROV.

Beschreibung

Holotypus ♂. Vorderflügelänge 18 mm (in Serie 16,5-19,5 mm). Größer als typische *glasunovi* GRUM-GRSHIMAILO 1893 (Abb. 11). Flügel oberseits schwarzbraun mit dem sich nur schwach abhebenden dunkleren Apikalaugel auf der Vorderflügel. Androkonienfleck des ♂ in Form eines diffusen, fast unsichtbaren Strichs in der Grundfarbe. Hinterflügel etwas heller als Vorderflügel. Flügelunterseite charakteristisch: Diskalregion der Vorderflügel dunkler als bei typischen *glasunovi*, Apikalaugel mit kaum erkennbarer ockerfarbenen Umrandung. Hinterflügel dunkler, bräunlicher (nicht grau wie bei typischen *glasunovi*), alle Muster kontrastreicher, besser ausgebildet und ähnlicher zu *H. amardaea* LEDERER 1869 als zu *H. glasunovi glasunovi*. Am Tornus sind zwei kleine, dunkelbraune, punktförmige Augen vorhanden.

♂ **Genitalien** (Abb. 23). Wie bei der nominotypischen Unterart.

Androkonien siehe Abb. 24.

♀. Vorderflügelänge 18-20,5 mm. Größer als typische *glasunovi*. Flügeloberseite wie bei typischen *glasunovi*, nur das Apikalaugel etwas größer. Gut ausgeprägte Ockerfärbung der Außenhälfte der Vorderflügel, die von der Basalhälfte durch einen durch alle Flügel verlaufenden dunklen,

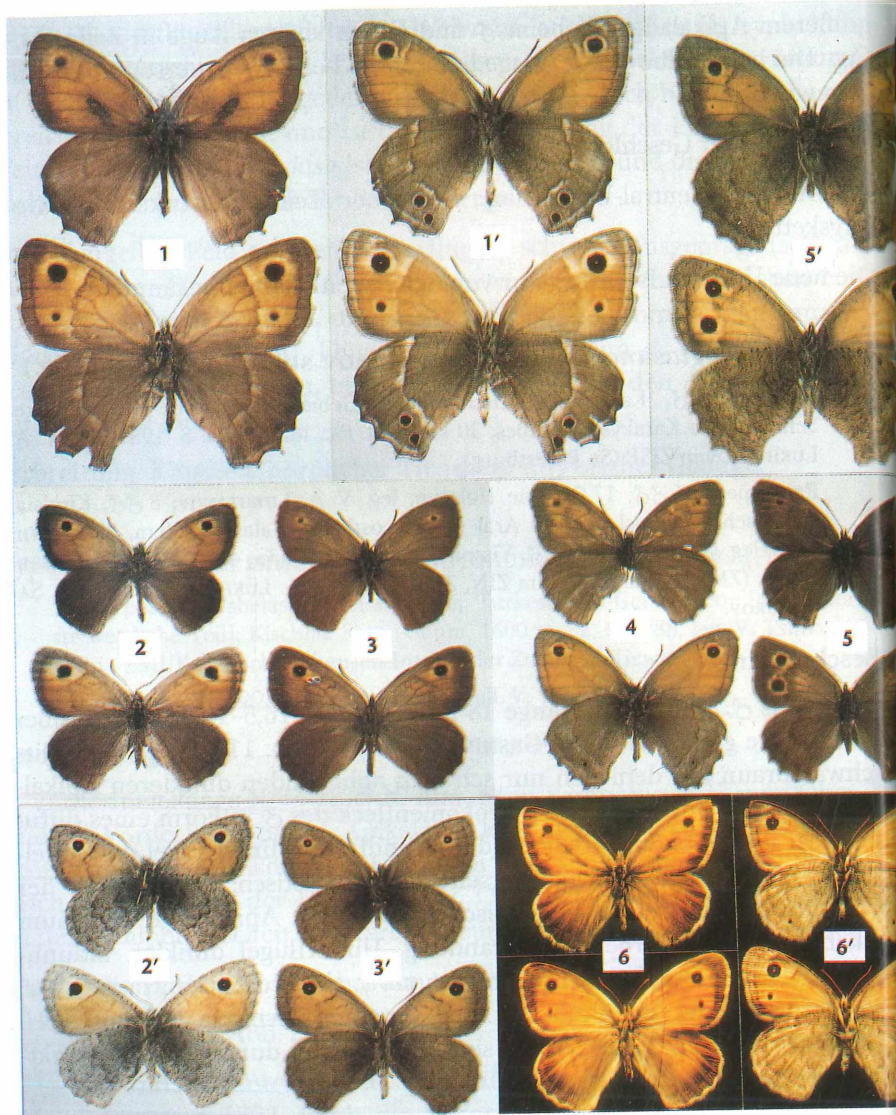


Abb. 1: *Hyponephele issykkuli* spec. nov. Oben: ♂, Holotypus, Oberseite (OS). Unten: ♀, Paratypus, OS. Abb. 1': dito, Unterseite (US). Abb. 2: *Hyponephele fortambeka* spec. nov. Oben: ♂, Holotypus, OS. Unten: ♀, Paratypus, OS. Abb. 2': dito, US. Abb. 3: *Hyponephele hilaris tsvetajevi* subsp. nov. Oben: ♂, Holotypus, OS. Unten: ♀, Paratypus, OS. Abb. 3': dito, US. Abb. 4: *Hyponephele tristis tshikolovetsi* subsp. nov. Oben: ♂, Holotypus, OS. Unten: ♂, Paratypus, US. Abb. 5: *Hyponephele lycaon zuvandica* subsp. nov. Oben: ♂, Holotypus, OS. Unten: ♀, Paratypus, OS. Abb. 5': dito, US. Abb. 6: *Hyponephele sheljuzhkoii* spec. nov. Oben: ♂, Paratypus, OS. Unten: ♀, Paratypus, OS. Abb. 6': dito, US.

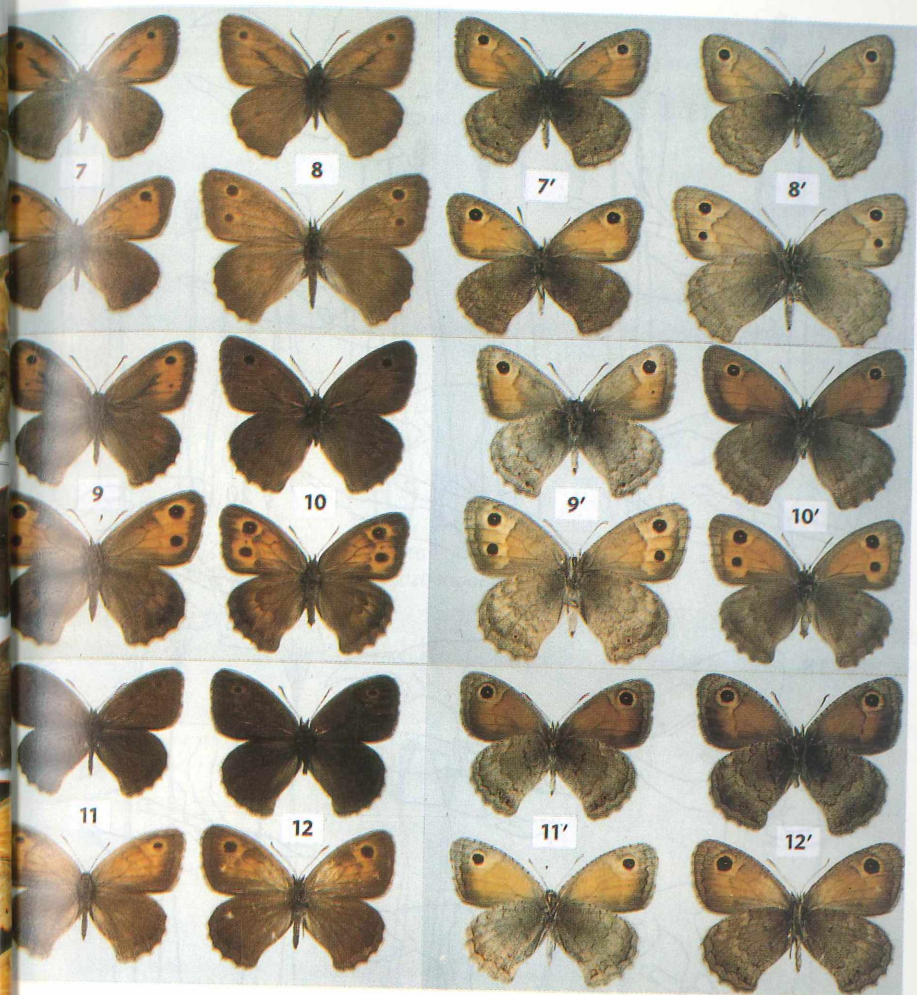


Abb. 7: *Hyponephele laeta ochracea* subsp. nov. Oben: ♂, Paratypus, OS. Unten: ♀, Paratypus, OS. Abb. 7': dito, US. Abb. 8: *Hyponephele laeta turkestana* subsp. nov. Oben: ♂, Paratypus, OS. Unten: ♀, Paratypus, OS. Abb. 8': dito, US. Abb. 9: *Hyponephele kirghisa obscurata* subsp. nov. Oben: ♂, Holotypus, OS. Unten: ♀, Paratypus, OS. Abb. 9': dito, US. Abb. 10: *Hyponephele dzhungarica* spec. nov. Oben: ♂, Holotypus, OS. Unten: ♀, Paratypus, OS. Abb. 10': dito, US. Abb. 11: *Hyponephele glasunovi glasunovi* Grum-Grshimailo 1893 Oben: ♂, OS. Unten: ♀, OS. Abb. 11': dito, US. Abb. 12: *Hyponephele glasunovi magna* subsp. nov. Oben: ♂, Paratypus, OS. Unten: ♀, Paratypus, OS. Abb. 12': dito, US.

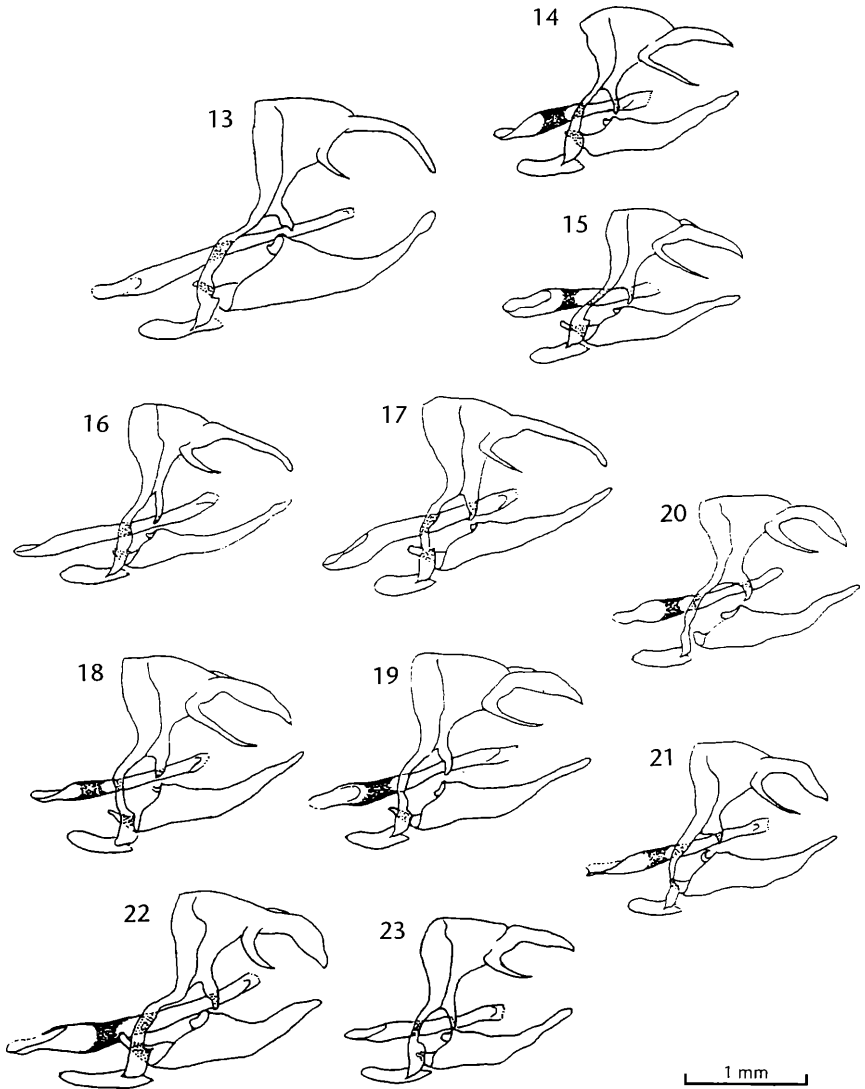


Abb. 13–23: *Hyponephele* MUSCHAMP 1915, ♂-Genitalien. **Abb. 13:** *Hyponephele issykkuli* spec. nov., Holotypus. **Abb. 14:** *Hyponephele fortambeka* spec. nov., Paratypus. **Abb. 15:** *Hyponephele hilaris tsvetajevi* subsp. nov., Holotypus. **Abb. 16:** *Hyponephele dzhungarica* spec. nov., Holotypus. **Abb. 17:** *Hyponephele lycaon zuvandica* subsp. nov., Paratypus. **Abb. 18:** *Hyponephele sheljuzhkoii* spec. nov., Paratypus. **Abb. 19:** *Hyponephele kirghisa obscurata* subsp. nov., Holotypus. **Abb. 20:** *Hyponephele laeta ochracea* subsp. nov., Paratypus. **Abb. 21:** *Hyponephele laeta turkestanica* subsp. nov., Paratypus. **Abb. 22:** *Hyponephele tristis tshikolovetsi* subsp. nov., Holotypus. **Abb. 23:** *Hyponephele glasunovi magna* subsp. nov., Paratypus.

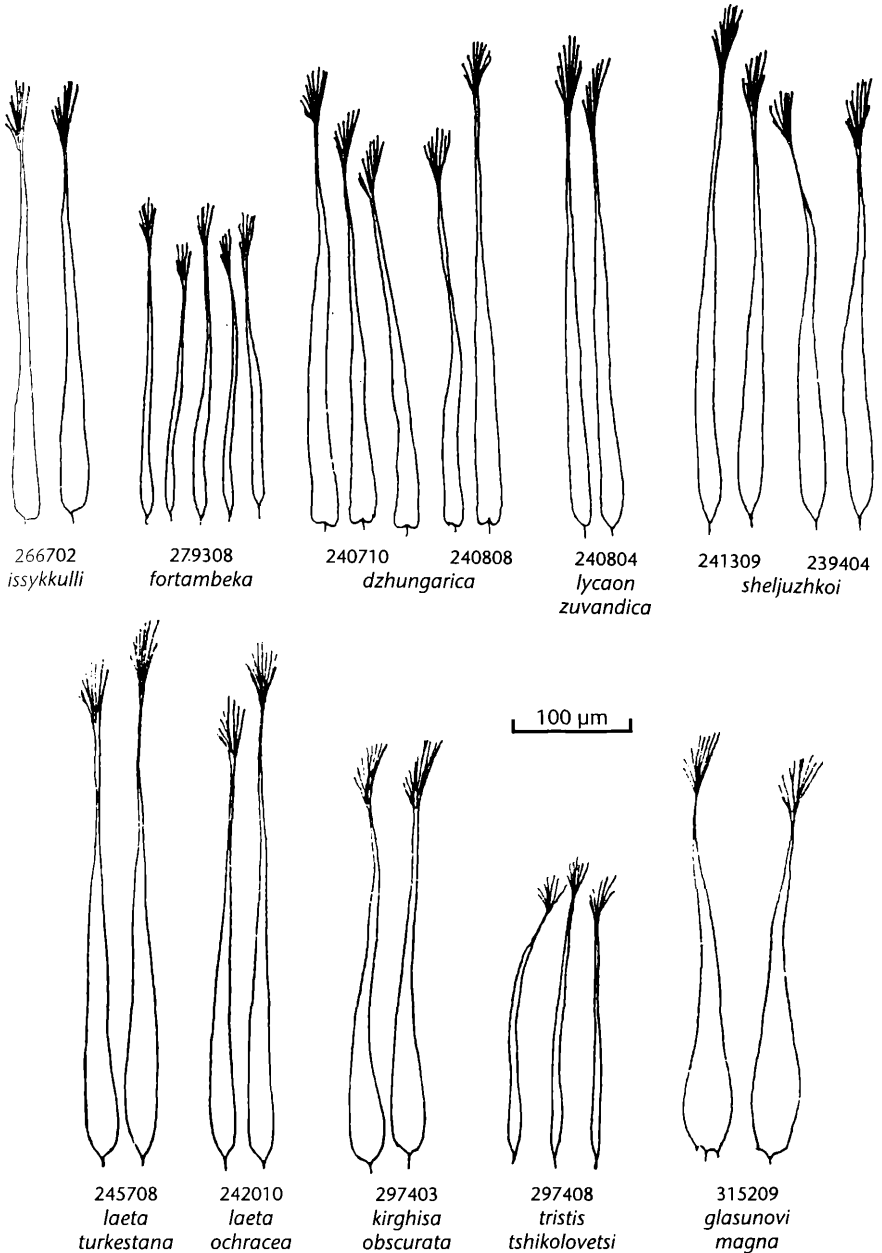


Abb. 24: *Hyponephele* MUSCHAMP, ♂, Androkonien.

gebogenen Postdiskalstreifen abgetrennt ist. Flügelunterseite wie beim ♂, Unterseite der Vorder- und Hinterflügel fast wie beim ♂ verdunkelt. Hier sind hier die Unterschiede zur typischen Form (Unterseite der ♀ deutlich heller als die der ♂) sehr deutlich.

Verbreitung. Kirgisien, Süd-Kasachstan: Kirgisische Gebirgskette, Syrdarjnischer Karatau, Boraldajtau-Gebirge.

Zur dieser Unterart kann man auch Populationen von *H. glasunovi* aus der Naryn-Gegend sowie von nördlichen Abhängen des westlichen Alai-Gebirges zählen, sofern Material aus diesen Gebieten die genügende Übereinstimmung mit dem Typenmaterial von *H. glasunovi magna* subsp. n. zeigt.

Danksagung

Die Verfasser äußern ihren aufrichtigen Dank an alle, die ihr Material für die Bearbeitung bereitstellten, sowie an Dr. E. M. ANTONOWA (ZMUM), Dr. A. V. SWIRIDOW (ZMUM) und P. V. BOGDANOV (DMM) für Beistand und Hilfe in der Arbeit und insbesondere Herrn Dr. W. ECKWEILER für Hilfe bei der redaktionellen Bearbeitung dieser Arbeit.

Eingang: 13. vi. 1995

ZOBODAT - www.zobodat.at

Zoologisch-Botanische Datenbank/Zoological-Botanical Database

Digitale Literatur/Digital Literature

Zeitschrift/Journal: [Nachrichten des Entomologischen Vereins Apollo](#)

Jahr/Year: 1997

Band/Volume: [17](#)

Autor(en)/Author(s): Samodurov Genrikh, Korolev Vladimir A., Tshikolovez Vadim V.

Artikel/Article: [Neue Taxa der Satyrinen-Gattung Hyponephele Muschamp 1915 \(Lepidoptera: Nymphalidae, Satyrinae\) aus Mittelasien und Transkaukasien 21-40](#)